



Laboratorium EMVO Sp. J. Urbański, Pawelak  
ul. Jasna 1  
00-013 Warszawa

tel. +48 22 780 29 64

e-mail: [laboratorium@emvo.pl](mailto:laboratorium@emvo.pl)



AB 1630

## Sprawozdanie z pomiarów pól elektromagnetycznych - środowisko nr 12/09/OŚ/2022- ELT



<b>Nr i nazwa stacji</b>	<b>BT44780_GDAŃSK_LIPCE</b>	
<b>Adres</b>	<b>80-032 Gdańsk, ul. Gościnną 15, woj. pomorskie</b>	
<b>Opracowanie</b>	<b>Martyna Karczmarczyk</b>	<b>Specjalista ds. pomiarów</b>
<b>Autoryzacja</b>	<b>Andrzej Urbański</b>	<b>Kierownik Laboratorium</b>
<b>Podpis</b>		
<b>Data</b>	<b>2022-09-19</b>	

## Spis treści

1. Informacje ogólne.....	3
2. Podstawa prawna. ....	3
3. Opis pomiarów.....	3
4. Zróżnicowanie dopuszczalne poziomy pól elektromagnetycznych.....	5
5. Charakterystyka źródeł PEM.....	5
6. Wyniki pomiarów.....	5
7. Stwierdzenie zgodności .....	6
8. Oświadczenie.....	8
9. Spis załączników. ....	8

## 1. Informacje ogólne.

Zleceniodawca	<b>Axians Networks Poland Sp. z o.o.</b> ul. Żupnicza 17 – 03-821 Warszawa Osoba udzielająca informacji – Piotr Miliszkiewicz
Istotne informacje dostarczone przez klienta	komplet informacji niezbędnych do wykonania pomiarów i opracowania sprawozdania
Dane otrzymane od klienta mogące mieć wpływ na ważność wyników	Dane anten sektorowych, dane anten radioliniowych, parametry pracy instalacji, poprawka pomiarowa, ustawienie pochylenia anten
Prowadzący instalację	<b>TOWERLINK POLAND SP. z.o.o.</b> , ul. Konstruktorska 4, 02-673 Warszawa
Lokalizacja obiektu	80-032 Gdańsk, ul. Gościnna 15, woj. pomorskie
Miejsce instalacji anten	Wieża kościelna
Miejsce instalacji urządzeń	Indoor
Osoby wykonujące pomiar	Roman Murawski
Data wykonania pomiaru	19.09.2022
Temperatura na początku pomiaru [°C]	13,0
Temperatura na koniec pomiaru [°C]	13,0
Warunki atmosferyczne	Brak opadów
Wilgotność na początku pomiaru [%]	74,8
Wilgotność na koniec pomiaru [%]	74,8
Godzina na początku pomiaru	13:24
Godzina na koniec pomiaru	15:07
Inne źródła pól elektromagnetycznych oznaczone na załączniku graficznym	Występują
Parametry pracy instalacji	Tryb eksploatacyjny

## 2. Podstawa prawna.

### 2.1 Normy i rozporządzenia:

- Rozporządzeniem Ministra Klimatu z dnia 17 lutego 2020 r. w sprawie sposobów sprawdzania dotrzymania dopuszczalnych poziomów pól elektromagnetycznych w środowisku (Dz.U. 2020 poz. 258)
- Rozporządzenie Ministra Zdrowia z dnia 17 grudnia 2019 r. w sprawie dopuszczalnych poziomów pól elektromagnetycznych w środowisku (Dz.U. 2019 poz. 2448)
- Obwieszczenie Marszałka Sejmu Rzeczypospolitej Polskiej z dnia 19 lipca 2019 r. w sprawie ogłoszenia jednolitego tekstu ustawy - Prawo ochrony środowiska (Dz.U. 2019 poz. 1396)
- Rozporządzenie Ministra Klimatu i Środowiska z dnia 6 maja 2022 r. zmieniające rozporządzenie w sprawie sposobów sprawdzania dotrzymywania dopuszczalnych poziomów pól elektromagnetycznych w środowisku (Dz.U. 2022 poz. 1121).

### 3. Opis pomiarów

Metodologia pomiarowa	Pomiary w oparciu o Rozporządzeniem Ministra Klimatu z dnia 17 lutego 2020 r. w sprawie sposobów sprawdzania dotrzymania dopuszczalnych poziomów pól elektromagnetycznych w środowisku (Dz.U. 2020 poz. 258) oraz Rozporządzenie Ministra Klimatu i Środowiska z dnia 6 maja 2022 r. zmieniające rozporządzenie w sprawie sposobów sprawdzania dotrzymywania dopuszczalnych poziomów pól elektromagnetycznych w środowisku (Dz.U. 2022 poz. 1121).
Cel badań	Określenie wartości natężenia pola elektrycznego w miejscach dostępnych dla ludności.
Opis zestawu pomiarowego	Miernik Narda NBM 550, Sonda EF-6092, o zakresie pomiarowym 0,7 V/m – 300V/m pracująca w paśmie 0,1 – 90 GHz, świadectwo wydane przez Laboratorium Wzorców i Metrologii Pola Elektromagnetycznego, Instytut Telekomunikacji, Teleinformatyki i Akustyki Politechniki Wrocławskiej. Świadectwo ważne do 10.06.2024 r. Miernik Narda NBM 550, Sonda EF-6092 pracująca w zakresie temperatury -10°C - +50°C oraz wilgotności 5% - 95% Niepewność rozszerzona wynosi 58,8% przy poziomie ufności 95% z uwzględnieniem współczynnika rozszerzenia k=2.
Wyposażenie pomocnicze	Termohigrometr Bestone, typ: GM1362-EN-00, nr identyfikacyjny 1222436, świadectwo wzorcowania z dn. 22.12.2015 r. wydane przez Laboratorium Pomiarowe "MUTECH". Przymiar wstęgowy STABILA, nr identyfikacyjny 5/WL/2016, świadectwo wzorcowania z dn. 06.09.2016 r. wydane przez Zespół Laboratoriów wzorcujących Okręgowego Urzędu Miar w Gdańsku. GPS Garmin 64s okresowo sprawdzany w punktach osnowy geodezyjnej klasy 3 na podstawie licencji punktu, zgodnie z procedurą sprawdzeń okresowych IS/PO-16-11/03.
Pomiary zostały wykonane	<ol style="list-style-type: none"><li>1. na głównych i pomocniczych kierunkach pomiarowych, na kierunkach zbliżonych do azymutów anten oraz w dodatkowych pionach pomiarowych zgodnie z wymaganiami pkt 12, 13, 14 i 19 Rozporządzenia Ministra Klimatu z dnia 17 lutego 2020 r. (Dz. U. 2020, poz. 258) oraz Rozporządzenia Ministra Klimatu i Środowiska z dnia 6 maja 2022 r. zmieniającego rozporządzenie w sprawie sposobów sprawdzania dotrzymywania dopuszczalnych poziomów pól elektromagnetycznych w środowisku (Dz.U. 2022 poz. 1121).</li><li>2. na obszarze pomiarowym, dla którego, na podstawie uprzednio przeprowadzonych obliczeń stwierdzono w miejscach dostępnych dla ludności występowanie pól elektromagnetycznych o najwyższym poziomie, które pochodzą z badanej instalacji zgodnie z wymaganiami pkt 5 ppkt 2 oraz pkt 13 ppkt 1 Rozporządzenia Ministra Klimatu z dnia 17 lutego 2020 r. w sprawie sposobów sprawdzania dotrzymania dopuszczalnych poziomów pól elektromagnetycznych w środowisku (Dz. U. 2020, poz. 258) oraz Rozporządzenia Ministra Klimatu i Środowiska z dnia 6 maja 2022 r. zmieniającego rozporządzenie w sprawie sposobów sprawdzania dotrzymywania dopuszczalnych poziomów pól elektromagnetycznych w środowisku (Dz.U. 2022 poz. 1121). Wyniki obliczeń nie uwzględniały parametrów pracy instalacji innych operatorów występujących na obiekcie bądź w obszarze pomiarowym.</li><li>3. w miejscach dostępnych dla ludności.</li><li>4. miejsca niedostępne podczas wykonywania pomiarów wskazane zostały w pkt 6 (tabeli wyniki pomiarów).</li></ol>

Szczególne warunki podczas wykonywania pomiarów

Pomiary wykonane zostały podczas obowiązywania w kraju stanu zagrożenia epidemicznego, zgodnie z art. 122a ust. 1b Ustawy z dnia 27 kwietnia 2001 r. – Prawo ochrony środowiska (Dz. U. z 2019 r. poz. 1396, z późn. zm.9))

Warunki pracy urządzeń nadawczych

Tryb pracy eksploatacyjny.

#### 4. Zróżnicowanie dopuszczalne poziomy pól elektromagnetycznych.

Zakresy znajdują się w Dzienniku Ustaw z dnia 17 grudnia 2019 r. przedstawione są w tabeli nr 2 (Dz. U. z 2019r. poz. 2448).

Parametr fizyczny	Składowa elektryczna E (V/m)	Składowa magnetyczna H (A/m)	Gęstość mocy S (W/m <sup>2</sup> )
Zakres Częstotliwości pola elektromagnetycznego			
od 400 MHz do 2000 MHz	$1,375 \times f^{0,5}$	$0,0037 \times f^{0,5}$	$f / 200$
od 2 GHz do 300 GHz	61	0,16	10

#### 5. Charakterystyka źródeł PEM.

Zgodnie z informacją otrzymaną od Klienta pomiary zostały wykonane przy ustawieniach pochylenia anten zgodnych z pkt. 13, ppkt 2 Rozporządzenia Ministra Klimatu z dnia 17 lutego 2020 roku.

Tabela 1. Anteny sektorowe - dane otrzymane od klienta

Typ anteny	Współrzędne geograficzne	Azymut mechaniczny [°]	Azymut elektryczny [°]	Wysokość środka elektrycznego anten n.p.t. [m]	Pasmo częstotliwości	Zakres pochylenia elektrycznego [°]	Średnie pochylenie anten (ustawione do pomiarów PEM) [°]	Kąt pochylenia mechanicznego [°]	Moc EIRP [W]	Suma EIRP [W]
AQU4518R14V07	18°37'57.74"E 54°19'22.82"N	45	45	32,0	1800	2-6,8	4,4	0	2343	13159
					2600	2-6,8	4,4	0	7334	
					900	0-6,8	4,4	0	3482	
AQU4518R14V07	18°37'57.74"E 54°19'22.82"N	132	132	32,0	1800	2-6,5	4,25	0	2441	13733
					2600	2-6,5	4,25	0	7713	
					900	0-6,5	4,25	0	3579	
AQU4518R14V07	18°37'57.74"E 54°19'22.82"N	225	225	32,0	1800	2-5,4	3,7	0	2508	14133
					2600	2-5,4	3,7	0	7977	
					900	0-5,4	3,7	0	3648	
AQU4518R14V07	18°37'57.74"E 54°19'22.82"N	307	307	29,4	1800	2-2	2,0	-0,8	2508	14133
					2600	2-2	2,0	-0,8	7977	
					900	0-2	2,0	-0,8	3648	

Tabela 2. Anteny radioliniowe- dane otrzymane od klienta

Typ anteny	Współrzędne geograficzne	Azymut [°]	Średnica [m]	Pasmo częstotliwości [GHz]	Zysk energetyczny [dBi]	Moc wyjściowa nadajnika [dBm]	EIRP [W]	Wysokość środka elektrycznego anten n.p.t. [m]
ANT2/2B0.623/80HP/HP	18°37'57.74"E 54°19'22.82"N	68	0,6	80	49,3	16	3388,44	19,7
ANT2/2B0.623/80HP/HP	18°37'57.74"E 54°19'22.82"N	68	0,6	23	39,6	21	1148,15	19,7

## 6. Wyniki pomiarów.

Wyniki pomiarów pól elektromagnetycznych dla celów ochrony środowiska przedstawia poniższa tabela. Piony pomiarowe zostały przedstawione w zał. 2.

Nr PP	Pole-E [V/m]	Pole-E, +U [V/m]	Pole-H [A/m]	Pole-H +U [A/m]	Wys. pomiaru [m]	Opis pionu	Uwagi	WM <sub>E</sub>	WM <sub>H</sub>
1	1,1	1,75	0,003	0,005	0,3-2,0	N:54°19'25.1" E:18°38'01.6"	otoczenie stacji bazowej - 100m wzdłuż gł. osi promieniowania - GKP	0,062	0,063
2	1,2	1,91	0,003	0,005	0,3-2,0	N:54°19'26.3" E:18°38'03.6"	otoczenie stacji bazowej - 150m wzdłuż gł. osi promieniowania - GKP	0,068	0,069
3	0,9	1,43	0,002	0,004	0,3-2,0	N:54°19'27.4" E:18°38'05.4"	otoczenie stacji bazowej - 200m wzdłuż gł. osi promieniowania - GKP	0,051	0,052
4	0,8	1,27	0,002	0,003	0,3-2,0	N:54°19'28.6" E:18°38'07.5"	otoczenie stacji bazowej - 250m wzdłuż gł. osi promieniowania - GKP	0,045	0,046
5	1,1	1,75	0,003	0,005	0,3-2,0	N:54°19'29.7" E:18°38'09.5"	otoczenie stacji bazowej - 300m wzdłuż gł. osi promieniowania - GKP	0,062	0,063
6	1,0	1,59	0,003	0,004	0,3-2,0	N:54°19'30.1" E:18°38'10.1"	otoczenie stacji bazowej - 320m wzdłuż gł. osi promieniowania - GKP	0,057	0,058
7	0,7*	1,27	0,002	0,003	0,3-2,0	N:54°19'21.8" E:18°37'59.9"	otoczenie stacji bazowej - 50m wzdłuż gł. osi promieniowania - GKP	0,045	0,046
8	1,2	1,91	0,003	0,005	0,3-2,0	N:54°19'20.7" E:18°38'02.2"	otoczenie stacji bazowej - 100m wzdłuż gł. osi promieniowania - GKP	0,068	0,069
9	1,1	1,75	0,003	0,005	0,3-2,0	N:54°19'19.6" E:18°38'04.1"	otoczenie stacji bazowej - 150m wzdłuż gł. osi promieniowania - GKP	0,062	0,063
10	1,0	1,59	0,003	0,004	0,3-2,0	N:54°19'18.5" E:18°38'06.2"	otoczenie stacji bazowej - 200m wzdłuż gł. osi promieniowania - GKP	0,057	0,058
11	0,8	1,27	0,002	0,003	0,3-2,0	N:54°19'17.5" E:18°38'08.2"	otoczenie stacji bazowej - 250m wzdłuż gł. osi promieniowania - GKP	0,045	0,046
12	0,7*	1,27	0,002	0,003	0,3-2,0	N:54°19'16.1" E:18°38'10.9"	otoczenie stacji bazowej - 320m wzdłuż gł. osi promieniowania - GKP	0,045	0,046
13	2,1	3,33	0,006	0,009	0,3-2,0	N:54°19'21.7" E:18°37'55.9"	otoczenie stacji bazowej - 50m wzdłuż gł. osi promieniowania - GKP	0,119	0,121
14	1,2	1,91	0,003	0,005	0,3-2,0	N:54°19'20.5" E:18°37'53.9"	otoczenie stacji bazowej - 100m wzdłuż gł. osi promieniowania - GKP	0,068	0,069
15	1,0	1,59	0,003	0,004	0,3-2,0	N:54°19'19.3" E:18°37'51.8"	otoczenie stacji bazowej - 150m wzdłuż gł. osi promieniowania - GKP	0,057	0,058
16	1,6	2,54	0,004	0,007	0,3-2,0	N:54°19'18.1" E:18°37'50.1"	otoczenie stacji bazowej - 200m wzdłuż gł. osi promieniowania - GKP	0,091	0,092
17	1,7	2,70	0,005	0,007	0,3-2,0	N:54°19'17.0" E:18°37'48.1"	otoczenie stacji bazowej - 250m wzdłuż gł. osi promieniowania - GKP	0,096	0,098
18	1,6	2,54	0,004	0,007	0,3-2,0	N:54°19'15.8" E:18°37'46.1"	otoczenie stacji bazowej - 300m wzdłuż gł. osi promieniowania - GKP	0,091	0,092
19	1,4	2,22	0,004	0,006	0,3-2,0	N:54°19'15.4" E:18°37'45.4"	otoczenie stacji bazowej - 320m wzdłuż gł. osi promieniowania - GKP	0,079	0,081
20	1,9	3,02	0,005	0,008	0,3-2,0	N:54°19'23.9" E:18°37'55.4"	otoczenie stacji bazowej - 50m wzdłuż gł. osi promieniowania - GKP	0,108	0,110
21	1,1	1,75	0,003	0,005	0,3-2,0	N:54°19'24.9" E:18°37'53.0"	otoczenie stacji bazowej - 100m wzdłuż gł. osi promieniowania - GKP	0,062	0,063
22	1,0	1,59	0,003	0,004	0,3-2,0	N:54°19'25.9" E:18°37'51.1"	otoczenie stacji bazowej - 150m wzdłuż gł. osi promieniowania - GKP	0,057	0,058
23	1,0	1,59	0,003	0,004	0,3-2,0	N:54°19'26.8" E:18°37'48.9"	otoczenie stacji bazowej - 200m wzdłuż gł. osi promieniowania - GKP	0,057	0,058
24	0,8	1,27	0,002	0,003	0,3-2,0	N:54°19'27.8" E:18°37'46.8"	otoczenie stacji bazowej - 250m wzdłuż gł. osi promieniowania - GKP	0,045	0,046
25	0,7*	1,27	0,002	0,003	0,3-2,0	N:54°19'28.7" E:18°37'44.8"	otoczenie stacji bazowej - 300m wzdłuż gł. osi promieniowania - GKP	0,045	0,046
26	1,2	1,91	0,003	0,005	0,3-2,0	N:54°19'23.6" E:18°38'00.4"	otoczenie stacji bazowej - 50m wzdłuż gł. osi promieniowania - GKP	0,068	0,069
27	0,7*	1,27	0,002	0,003	0,3-2,0	N:54°19'22.1" E:18°38'01.1"	otoczenie stacji bazowej - GKP	0,045	0,046
28	1,2	1,91	0,003	0,005	0,3-2,0	N:54°19'21.3" E:18°37'58.9"	otoczenie stacji bazowej - GKP	0,068	0,069

29	1,2	1,91	0,003	0,005	0,3-2,0	N:54°19'21.1" E:18°37'55.9"	otoczenie stacji bazowej - GKP	0,068	0,069
30	1,1	1,75	0,003	0,005	0,3-2,0	N:54°19'23.2" E:18°37'54.9"	otoczenie stacji bazowej - GKP	0,062	0,063
31	1,2	1,91	0,003	0,005	0,3-2,0	N:54°19'24.9" E:18°37'55.9"	otoczenie stacji bazowej - GKP	0,068	0,069
32	1,4	2,22	0,004	0,006	0,3-2,0	N:54°19'24.9" E:18°37'59.6"	otoczenie stacji bazowej - GKP	0,079	0,081
33	1,2	1,91	0,003	0,005	0,3-2,0	N:54°19'26.1" E:18°37'59.1"	otoczenie stacji bazowej - GKP	0,068	0,069
A	1,6	2,54	0,004	0,007	0,3-2,0	N:54°19'23.5" E:18°37'59.5"	Gościńska 15, pomiar przed budynkiem -DPP	0,091	0,092
B	1,3	2,06	0,003	0,005	0,3-2,0	N:54°19'24.0" E:18°37'57.1"	Gościńska 13, pomiar przed budynkiem -DPP	0,074	0,075
C	1,6	2,54	0,004	0,007	0,3-2,0	N:54°19'23.1" E:18°37'59.8"	Gościńska 14/16, pomiar przed budynkiem -DPP	0,091	0,092
D	1,4	2,22	0,004	0,006	0,3-2,0	N:54°19'22.5" E:18°37'58.4"	Gościńska 12, pomiar przed budynkiem -DPP	0,079	0,081
E	1,2	1,91	0,003	0,005	0,3-2,0	N:54°19'22.1" E:18°37'57.3"	Gościńska 10, pomiar przed budynkiem -DPP	0,068	0,069
F	1,8	2,86	0,005	0,008	0,3-2,0	N:54°19'23.6" E:18°38'00.9"	Gościńska 18, pomiar przed budynkiem -DPP	0,102	0,104
G	1,2	1,91	0,003	0,005	0,3-2,0	N:54°19'20.8" E:18°37'55.9"	Gościńska 8, pomiar przed budynkiem -DPP	0,068	0,069
H	1,4	2,22	0,004	0,006	0,3-2,0	N:54°19'21.8" E:18°37'54.6"	Gościńska 5/3, pomiar przed budynkiem -DPP	0,079	0,081
I	1,3	2,06	0,003	0,005	0,3-2,0	N:54°19'21.2" E:18°37'53.5"	Gościńska 1, pomiar przed budynkiem -DPP	0,074	0,075
J	1,2	1,91	0,003	0,005	0,3-2,0	N:54°19'20.2" E:18°37'53.9"	Gościńska 6, pomiar przed budynkiem -DPP	0,068	0,069
K	1,2	1,91	0,003	0,005	0,3-2,0	N:54°19'25.3" E:18°37'54.4"	Trakt Św. Wojciecha 82, pomiar przed budynkiem -DPP	0,068	0,069
L	1,2	1,91	0,003	0,005	0,3-2,0	N:54°19'25.7" E:18°37'56.4"	Trakt Św. Wojciecha 143, pomiar przed budynkiem -DPP	0,068	0,069
M	1,1	1,75	0,003	0,005	0,3-2,0	N:54°19'25.4" E:18°38'01.9"	Gościńska 21, pomiar przed budynkiem -DPP	0,062	0,063
N	1,1	1,75	0,003	0,005	0,3-2,0	N:54°19'26.8" E:18°37'49.8"	Raduńska 38, pomiar przed budynkiem -DPP	0,062	0,063
O	1,0	1,59	0,003	0,004	0,3-2,0	N:54°19'25.8" E:18°37'49.6"	Raduńska 40, pomiar przed budynkiem -DPP	0,057	0,058
P	1,3	2,06	0,003	0,005	0,3-2,0	N:54°19'19.9" E:18°37'53.3"	Gościńska 4, pomiar przed budynkiem -DPP	0,074	0,075
R	0,8	1,27	0,002	0,003	0,3-2,0	N:54°19'19.6" E:18°37'52.0"	Gościńska 2, pomiar przed budynkiem -DPP	0,045	0,046
S	1,0	1,59	0,003	0,004	0,3-2,0	N:54°19'15.8" E:18°37'46.1"	Nowiny 7, pomiar przed budynkiem -DPP	0,057	0,058
T	1,2	1,91	0,003	0,005	0,3-2,0	N:54°19'20.4" E:18°38'02.5"	Junacka 5, pomiar przed budynkiem -DPP	0,068	0,069
U	1,4	2,22	0,004	0,006	0,3-2,0	N:54°19'18.8" E:18°38'05.8"	Związkowa 8, pomiar przed budynkiem -DPP	0,079	0,081
W	1,5	2,38	0,004	0,006	0,3-2,0	N:54°19'16.8" E:18°38'08.8"	Ramułta 9, pomiar przed budynkiem -DPP	0,085	0,087
V	1,6	2,54	0,004	0,007	0,3-2,0	N:54°19'16.7" E:18°38'10.7"	Ramułta 10, pomiar przed budynkiem -DPP	0,091	0,092
X	0,9	1,43	0,002	0,004	0,3-2,0	N:54°19'28.3" E:18°38'08.1"	Plac Oruński 9, pomiar przed budynkiem -DPP	0,051	0,052

Wynik pomiaru pole - E [V/m] - maksymalna wartość chwilowa zmierzona w danym pionie pomiarowym (uśredniona na podstawie punktu 11 Rozporządzenia Ministra Zdrowia).

Przyjęto najniższą dopuszczalną wartość składowej elektrycznej pola dla objętego pomiarami zakresu częstotliwości  $\min(ME_{gr}) = 28 \text{ V/m}$  oraz składowej magnetycznej  $\min(MH_{gr}) = 0,073 \text{ A/m}$ .

\* - wartość zmierzona poniżej zakresu akredytacji. Do obliczeń przyjęto wartość zgodną z dolną granicą akredytowanego zakresu pomiarowego metody.

GKP - główne kierunki pomiarowe

PKP - pomocnicze kierunki pomiarowe

DPP - dodatkowe punkty pomiarowe

„Bez pisemnej zgody Laboratorium niniejsze sprawozdanie nie może być powielane inaczej, jak tylko w całości. Ponadto wyniki dotyczą tylko badanych obiektów przywołanych w niniejszym sprawozdaniu z badań”

12/09/OŚ/2022- ELT

Strona 7 z 11

PP - pion pomiarowy

U - niepewność pomiarowa rozszerzona, przy poziomie ufności 95%, z uwzględnieniem współczynnika rozszerzenia  $k=2$

$WM_E$  - wartość wskaźnikowa poziomu emisji pól elektromagnetycznych dla miejsc dostępnych dla ludności dla składowej elektrycznej pola

$WM_H$  - wartość wskaźnikowa poziomu emisji pól elektromagnetycznych dla miejsc dostępnych dla ludności dla składowej magnetycznej pola

## 7. Stwierdzenie zgodności

Na podstawie wytycznych podanych w Rozporządzeniu Ministra Zdrowia z dnia 17 grudnia 2019 r. w sprawie dopuszczalnych poziomów pól elektromagnetycznych w środowisku (Dz.U. 2019 poz. 2448) oraz sposobów sprawdzania dotrzymania tych poziomów zgodnie z Rozporządzeniem Ministra Klimatu z dnia 17 lutego 2020 r. w sprawie sposobów sprawdzania dotrzymania dopuszczalnych poziomów pól elektromagnetycznych w środowisku (Dz.U. 2020 poz. 258) oraz Rozporządzeniem Ministra Klimatu i Środowiska z dnia 6 maja 2022 r. zmieniającego rozporządzenie w sprawie sposobów sprawdzania dotrzymywania dopuszczalnych poziomów pól elektromagnetycznych w środowisku (Dz.U. 2022 poz. 1121), dotyczących źródła wymagań, które muszą być spełnione, w oparciu o zasadę podejmowania decyzji zgodną z pkt. 26 Rozporządzenia Ministra Klimatu z dnia 17 lutego 2020 r. (Dz.U. 2020 poz. 258), na podstawie wyników pomiarów pól elektromagnetycznych wykonanych w dniu 19.09.2022 stwierdzono, że wszystkie wyniki przeprowadzonych pomiarów w danym obszarze pomiarowym oraz wyznaczone na tej podstawie wskaźniki  $WME$  oraz  $WMH$  są mniejsze od wartości dopuszczalnych – zgodnie z przepisami wydanymi na podstawie art. 122 ust. 1 ustawy z dnia 27 kwietnia 2001 r. – Prawo ochrony środowiska – załącznikiem do Rozporządzenia Ministra Klimatu i Środowiska z dnia 17 lutego 2020 r. w sprawie sposobów sprawdzania dotrzymywania dopuszczalnych poziomów pól elektromagnetycznych w środowisku (Dz.U. 2020 poz. 258, pkt 26).

## 8. Oświadczenie.

Wyniki badania odnoszą się wyłącznie do badanego obiektu.

Bez pisemnej zgody sprawozdanie nie może być powielane inaczej, jak tylko w całości.

Uwagi i zastrzeżenia przyjmowane są w formie pisemnej w ciągu 14 dni od daty otrzymania sprawozdania.

## 9. Spis załączników.

Zał. 1. Lokalizacja obiektu.

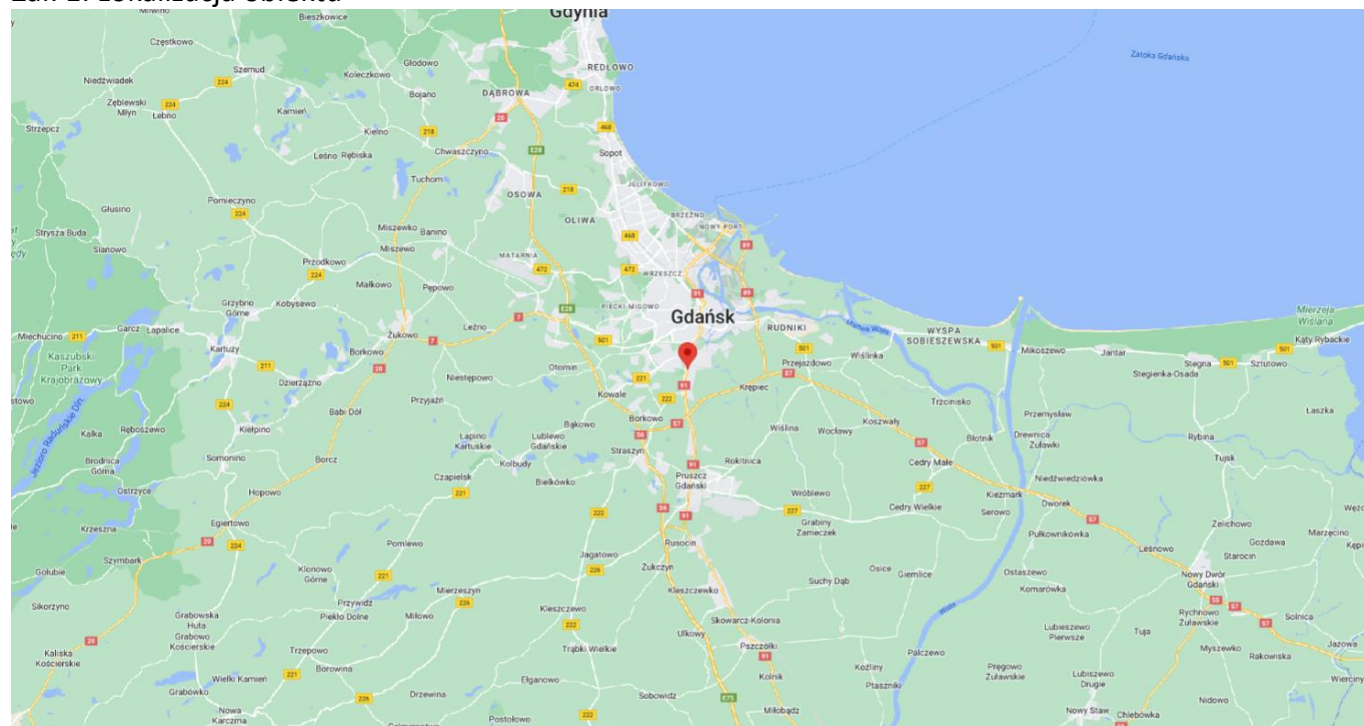
Zał. 2. Widok pionów pomiarowych

Zał. 3. Załączniki graficzne

**Koniec sprawozdania**

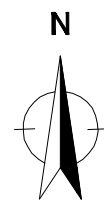


## Zał. 1. Lokalizacja obiektu




Współrzędne geograficzne	
długość:	18°37'57.74"E
szerokość:	54°19'22.82"N


## Załącznik 2. Widok pionów pomiarowych




### LEGENDA:

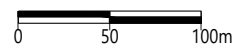
 brak dostępu

 pion pomiaru

 antena sektorowa

 antena radioliowa

Skala:1:5000



Załącznik 3. Załączniki graficzne.

